

# بررسی اثر عملیات حرارتی آستمپرینگ و مارتمنپرینگ بر رفتار سایشی فولادهای کروم-مولیبدن دار (۲۲۶-FMU) مورد استفاده در آستری آسیابها

محمد حسین شاعری<sup>۱\*</sup>، حسن تقیان<sup>۲</sup>، سعید شبستری<sup>۳</sup>

۱- استادیار گروه مهندسی مواد و متالورژی دانشگاه بین‌المللی امام خمینی (ره) قزوین، (پست الکترونیکی: shaeri@eng.ikiu.ac.ir)

۲- دانشیار دانشکده مهندسی مواد و متالورژی دانشگاه علم و صنعت ایران، (پست الکترونیکی: saghafian@iust.ac.ir)

۳- استاد دانشکده مهندسی مواد و متالورژی دانشگاه علم و صنعت ایران، (پست الکترونیکی: shabestari@iust.ac.ir)

## Effects of Austempering and Martempering Heat Treatments on wear Behavior of Cr-Mo Steels (FMU-226) Used in Mills Liner

M.H. Shaeri<sup>1\*</sup>, H. Saghafian<sup>2</sup>, S.G. Shabestari<sup>3</sup>

1-Assistant professor, Department of Materials and Metallurgical Engineering, Imam Khomeini International University (IKIU), Qazvin, Email: shaeri@ENG.ikiu.ac.ir

2- Associated professor, Department of Materials and Metallurgical Engineering, Iran University of Science and Technology (IUST), Email: saghafian@iust.ac.ir

3-Professor, Department of Materials and Metallurgical Engineering, Iran University of Science and Technology (IUST), Email: shabestari@iust.ac.ir

### چکیده

با توجه به کاربرد فولادهای کروم-مولیبدن دار که از نوع فولادهای مقاوم در برابر سایش می‌باشند، بررسی رفتار سایشی این فولادها و همچنین بهبود مقاومت سایشی آنها از اهمیت ویژه‌ای برخوردار می‌باشد. در این پژوهش به منظور بهبود مقاومت سایشی فولادهای فولادهای کروم-مولیبدن دار سیکل‌های عملیات حرارتی مارتمنپرینگ و آستمپرینگ روی این فولاد انجام گردید و نتایج بدست آمده با نتایج حاصل از سیکل رایج در صنعت (سرد کردن به وسیله هوای فشرده) مقایسه گردید. قطعات پس از نگهداری در دمای آستینیته در فرآیند آستمپرینگ در حمام نمک با دمای  $300^{\circ}\text{C}$  و در فرآیند مارتمنپرینگ در حمام نمک با دمای  $200^{\circ}\text{C}$  به مدت ۲، ۸، ۳۰ و ۱۲۰ دقیقه نگهداری شده و سپس تا دمای محیط سرد شدند. پس از بررسی ریزساختار، آزمون سایش خشک پس روی دیسک روی نمونه‌ها انجام گرفت. نتایج بررسی‌ها نشان داد در صورت استفاده از عملیات حرارتی آستمپرینگ و به خصوص مارتمنپرینگ مقاومت سایشی به مقدار قابل ملاحظه‌ای افزایش می‌یابد. نتایج XRD و بررسی‌های SEM زیرسطح و براده‌های حاصل از سایش، وجود مکانیزم سایش اکسیدی ملایم در همه نمونه‌ها و همه نیروها و وجود مکانیزم تورق در نمونه‌های مارتنتزیتی و مکانیزم سایش شدید بر اساس تغییر شکل پلاستیک در نمونه‌های بینیتی و پرلیتی در نیروهای بالا را نشان داد.

واژه‌های کلیدی: فولاد کروم-مولیبدن دار، آستمپرینگ، مارتمنپرینگ، مقاومت سایشی، مکانیزم سایش.

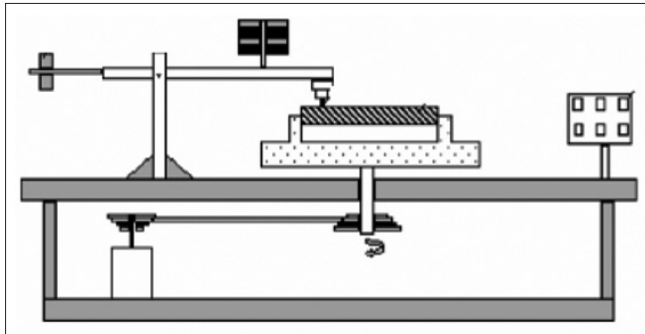
### Abstract

In order to investigate the effect of heat treatment on wear characteristics of Cr-Mo wear resistant steel, the specimens were austempered and martempered at  $300^{\circ}\text{C}$  and  $200^{\circ}\text{C}$  respectively for 2, 8, 30, and 120 minutes and the wear properties of the specimens were compared with those observed in common cycle in industry (compressed air quench). Dry sliding wear tests have been conducted using a pin-on-disk machine under different normal loads of 57.8, 81.3 and 104.8 at a constant sliding speed of 1.20 m/s. The scanning electron microscope (SEM) and X-ray diffraction (XRD) analysis of surface and wear debris of specimens shows that wear mechanism was mainly mild oxidative in all samples, however, delamination and plasticity-dominated wear mechanisms have been seen in high loads. The friction, wear rate and wear coefficient of the steels, have been explained with respect to microstructure and the wear mechanism. The comparison of wear rates shows that by using austempering and especially martempering process, wear resistance of this steel increases considerably.

**Keywords:** Cr-Mo Steels, Austempering, Martempering, Wear Rate, Wear Mechanism.

جدول ۱- ترکیب شیمیایی فولاد کروم- مولیبدن دار ریخته شده.

P	S	Ni	Mo	Cr	Mn	Si	C
۰/۰۰۸	۰/۰۱۵	۰/۲	۰/۲۹	۲/۱۷	۰/۹۵	۰/۴۷	۰/۷۸



شکل ۱- شماتیک دستگاه پین روی دیسک.

فرآیندهای آستمپرینگ و مارتیپرینگ بر رفتار سایشی و مکانیزم سایش فولاد کروم- مولیبدن دار (FMU-226) در نیروهای مختلف بررسی شد و نتایج بدست آمده با نتایج حاصل از نمونه‌های تولید شده با سیکل عملیات حرارتی رایج در صنعت (سرد کردن به وسیله هوای فشرده) مقایسه گردید.

### مواد و روش تحقیق

در این تحقیق برای تهیه نمونه‌ها از فولادهای مقاوم در برابر سایش کروم- مولیبدن دار استفاده شد. مذاب موردنیاز به وسیله کوره الایی و با استفاده از قراضه، برگشتی و فروآلیاژها تهیه و سپس به وسیله پاتیل کف ریز در قالب‌های ماسه‌ای ریخته شد. ترکیب شیمیایی به دست آمده از این فولاد با استفاده از دستگاه اسپکترومتر Hilger مطابق جدول ۱ می‌باشد.

به دلیل اینکه اطلاعات دقیقی درباره سیکل عملیات حرارتی فولادهای کروم- مولیبدن دار در منابع وجود ندارد، دماهای بحرانی بالایی و پایینی و دمای شروع تشکیل مارتنتزیت و بینیت این فولاد با استفاده روابط تئوری موجود در منابع و آزمایشات اولیه تعیین شد. با توجه به اینکه ساختار نمونه‌ها در حالت ریختگی به دلیل اختلاف در سرعت سردشدن یکنواخت نبود، تمامی نمونه‌ها در دمای  $950^{\circ}\text{C}$  به مدت ۱ ساعت بازپخت شدند تا ساختار اولیه همه نمونه‌ها یکنواخت شود. سپس نمونه‌ها به مدت ۱ ساعت در دمای  $950^{\circ}\text{C}$  آستنتیته شده و پس از آن نمونه‌های سری E1 به وسیله هوای فشرده خنک شدند و سایر نمونه‌ها در حمام نمک به مدت ۲، ۳۰، ۱۲۰ دقیقه در دماهای  $200^{\circ}\text{C}$  و  $300^{\circ}\text{C}$  نگهداری شده و سپس در هوای آرام تا دمای اتاق سرد شدند. در جدول ۲ خلاصه عملیات حرارتی‌های انجام شده بر روی نمونه‌ها آمده است. در ضمن تمام نمونه‌های حاوی مارتنتزیت پس از کوئنچ به مدت ۳

با توجه به نوع و اندازه آسیاب، جنس و اندازه مواد مورد خردایش و محل نصب آستری‌ها در آسیاب، آلیاژ مورد استفاده باید دارای تلفیق مناسبی از مقاومت به سایش و ضربه باشد. در آستری‌های مورد استفاده در دیواره آسیاب مقاومت در برابر سایش در اولویت قرار دارد و در آستری‌های کف آسیاب مقاومت در برابر ضربه از اهمیت بیشتری برخوردار است (Clearly, 2001; Banisi & Hadizadeh, 2007) از آلیاژهای مختلفی از قبیل فولادهای آستنتیتی منگنزی، فولادها و چدن‌های پرکروم، چدن‌های نایهارد و فولادهای کروم- مولیبدن دار و... استفاده می‌شود (Olsen & Cross, 1992).

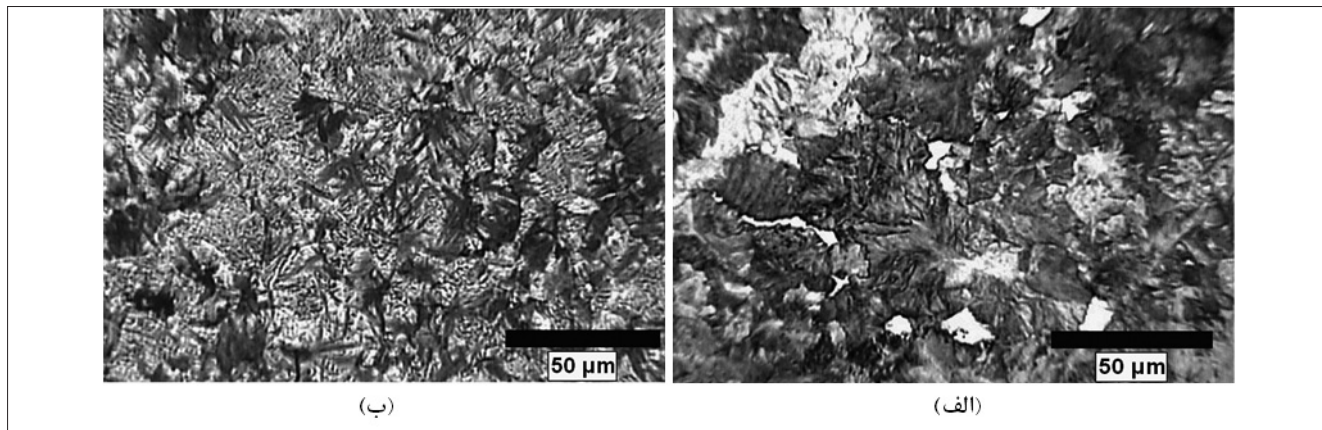
فولادهای کروم- مولیبدن دار (FMU-226) به دلیل مقاومت به سایش و ضربه مناسب و هزینه تولید نسبتاً پایین یکی از پرکاربردترین آلیاژهای مورد استفاده در آستری آسیاب‌ها به خصوص آسیاب‌های سنگ‌آهن می‌باشد (Zhi-qiang, Jian-ming, Xi-la, 2006). یکی از مسائلی که باعث تحمل ضررهای هنگفتی به این معادن می‌شود، توقف کار آسیاب جهت تعویض آستری‌ها می‌باشد. لذا افزایش عمر سایشی با حفظ مقاومت در برابر ضربه کافی آستری‌ها باعث ایجاد صرفه‌جویی قابل توجهی در هزینه تولید معادن به دلیل کاهش زمان توقف کار آسیاب و همچنین کاهش هزینه تامین آستری‌ها می‌شود (Banisi & Hadizadeh, 2007).

هدف از انجام این پژوهش بهبود عمر سایشی آستری‌های تهیه شده از فولاد کروم- مولیبدن دار (FMU-226) با حفظ مقاومت به ضربه کافی به وسیله تغییر فرآیند عملیات حرارتی بوده است. در سیکل عملیات حرارتی رایج در صنعت قطعات پس از آستنتیته شدن به وسیله هوای فشرده تا دمای محیط خنک شده تا ساختار نمونه‌ها حاوی پرلیت ریز شود (Fu & Xiao, 2005; Zhi-qiang, Jian-ming, Xi-la, 2006). با توجه به اینکه ساختارهای بینیت پایینی و مارتنتزیت تمپر شده دارای بیشترین مقاومت سایشی همراه با چرمگی مناسب می‌باشد (Keough, Laird, Goddin, 1991; Hertzberg, 1996)، در این پژوهش سیکل عملیات حرارتی به نحوی طراحی شد، تا ساختار نمونه‌ها حاوی بینیت پایینی و یا مارتنتزیت تمپر شده گردد. لذا سیکل عملیات حرارتی مارتیپرینگ و آستمپرینگ مورد تحقیق قرار گرفت و بهترین شرایط جهت دستیابی به تلفیق مناسبی از سایش و چرمگی حاصل گردید. لازم به ذکر است با توجه به شوک‌پذیری پایین این فولاد به دلیل مقدار کربن بالا امکان استفاده از محیط‌های سردکننده قوی مانند آب و روغن وجود ندارد.

در این پژوهش اثر زمان و دمای نگهداری در حمام نمک در

جدول ۲- عملیات حرارتی‌های انجام شده روی نمونه‌های مختلف.

کد نمونه	نوع عملیات حرارتی	کد نمونه	دما (سیلیسیوس) (زمان دقیقه)	نوع عملیات حرارتی	دما (سیلیسیوس) (زمان دقیقه)
F2	ریختگی	-	-	سرد کردن به وسیله هوای فشرده	-
A1	مارتمپرینگ در حمام نمک	C1	۲-۳۰۰	مارتمپرینگ اصلاح شده در حمام نمک	۲-۲۰۰
A2	مارتمپرینگ در حمام نمک	C2	۸-۳۰۰	آستمپرینگ ناقص در حمام نمک	۸-۲۰۰
A3	مارتمپرینگ در حمام نمک	C3	۳۰-۳۰۰	آستمپرینگ ناقص در حمام نمک	۳۰-۲۰۰
A4	مارتمپرینگ در حمام نمک	C4	۱۲۰-۳۰۰	آستمپرینگ کامل در حمام نمک	۱۲۰-۲۰۰



شکل ۲ ریزساختار میکروسکوپ نوری نمونه‌های (الف) ریختگی، (ب) سرد شده به وسیله هوای فشرده ( محلول اج: نایتال ۴٪).

نتایج فوق و نیز متغیرهای سایشی (ترخ سایش، ضربی اصطکاک متوسط، ضربی لنسکتر) بدست آمده با استفاده از این نتایج، بر حسب متغیرهای مختلف و متناسب با پارامترهای مورد نظر، برای کلیه نمونه‌ها رسم گردید.  
پس از سایش، سطح و زیرسطح نمونه‌ها و همچنین برآدھای PHILIPS حاصل از سایش به وسیله XRD (با استفاده از دستگاه Xpert و به وسیله تشعشع  $\text{Cu K}_\alpha$  در ۴۰ kV و ۳۰ mA) و SEM استفاده از دستگاه PHILIPS XL30 (با استفاده از دستگاه FEG-SEM) مورد بررسی قرار گرفتند.

#### نتایج و بحث

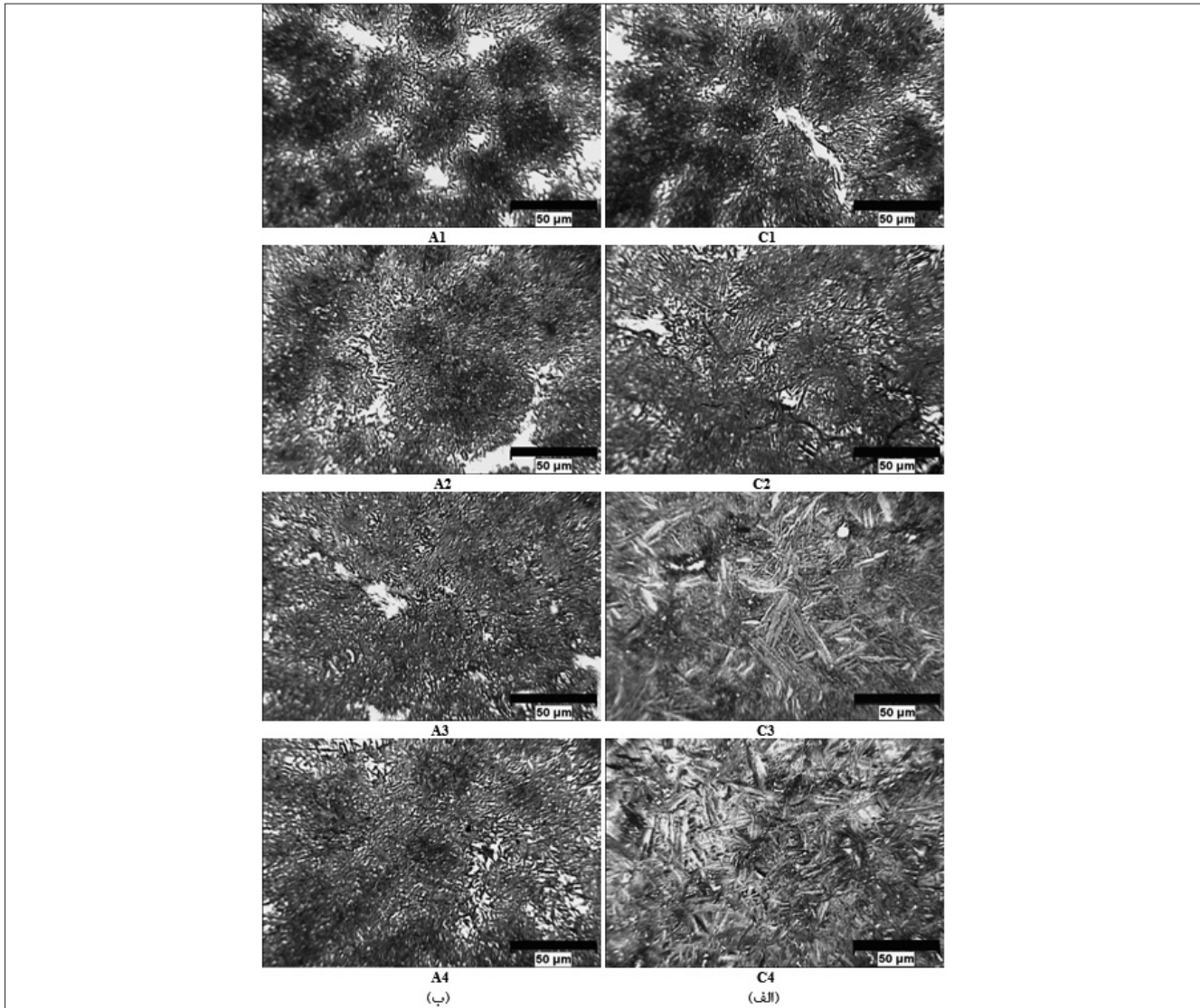
##### بررسی ریزساختار و ساختی

در شکل ۲ ریزساختار میکروسکوپ نوری نمونه‌های ریختگی و سرد شده به وسیله هوای فشرده که به وسیله محلول نایتال اج شده‌اند نشان داده شده است. همان‌طور که مشخص است ریزساختار نمونه ریختگی شامل پرلیت ریز و مقدار اندکی سمنتیت پروپیوتکنیک در نواحی مرزدانه‌ای می‌باشد، ولی ساختار نمونه که به وسیله هوای فشرده خنک شده است حاوی حدود ۳۰ درصد بینیت و ۷۰ درصد پرلیت ریز می‌باشد (Shaeri, Saghafian, 2010; Shabestari, 2012).

ساعت در دمای ۲۵۰°C تمپر شدند. آماده‌سازی نمونه‌ها جهت بررسی ساختار مطابق با استاندارد ASTM E3 انجام شد. برای حکاکی از محلول‌های اج رنگی و سیاه و سفید مختلفی مطابق با استاندارد ASTM E407 استفاده شد، که بهترین نتیجه به وسیله محلول آبی متابی‌سولفات سدیم ۱۵ درصد بدست آمد.

در این پژوهش آزمون سایش نمونه‌ها به روش پین روی دیسک مطابق با استاندارد G99 ASTM انجام گرفت. در شکل ۱ شماتیک دستگاه پین روی دیسک به کار رفته نشان داده شده است. برای تهیه دیسک‌ها از فولاد X210CrW12 با سختی HRC 64 استفاده شد. ضخامت دیسک‌های مورد استفاده ۱۰ میلیمتر و قطر آنها ۱۰۰ میلیمتر بود. پین‌های استوانه‌ای شکل نیز با قطر ۵mm تهیه شدند. سایش هر یک از نمونه‌ها در سرعت ثابت ۵۰m/s و مسافت ثابت ۲۵۰ متر، تحت نیروهای N ۸/۸، ۵/۷/۸، ۸/۱/۳ و ۱۰/۴/۸ و با دو بار تکرار مورد بررسی قرار گرفت.

در نتیجه آزمایش سایش اطلاعات زیر حاصل گردید:  
۱- کاهش وزن حاصل از سایش نمونه‌ها در مسافت‌های ۵۰۰، ۷۵۰، ۱۰۰۰، ۱۵۰۰، ۲۰۰۰ و ۲۵۰۰ متر.  
۲- ضربی اصطکاک لحظه‌ای کلیه نمونه‌ها در فاصله‌های تنظیم شده مذکور.



تصویر ۳- ساختار میکروسکوپی نمونه‌های کوئنچ شده در حمام نمک در بزرگنمایی ۸۰۰، (الف) نمونه‌های آستمپر شده در دمای  $300^{\circ}\text{C}$  و (ب) نمونه‌های مارتمپر شده در دمای  $200^{\circ}\text{C}$  ( محلول اج: متا بی سولفیت ۱۵ درصد).

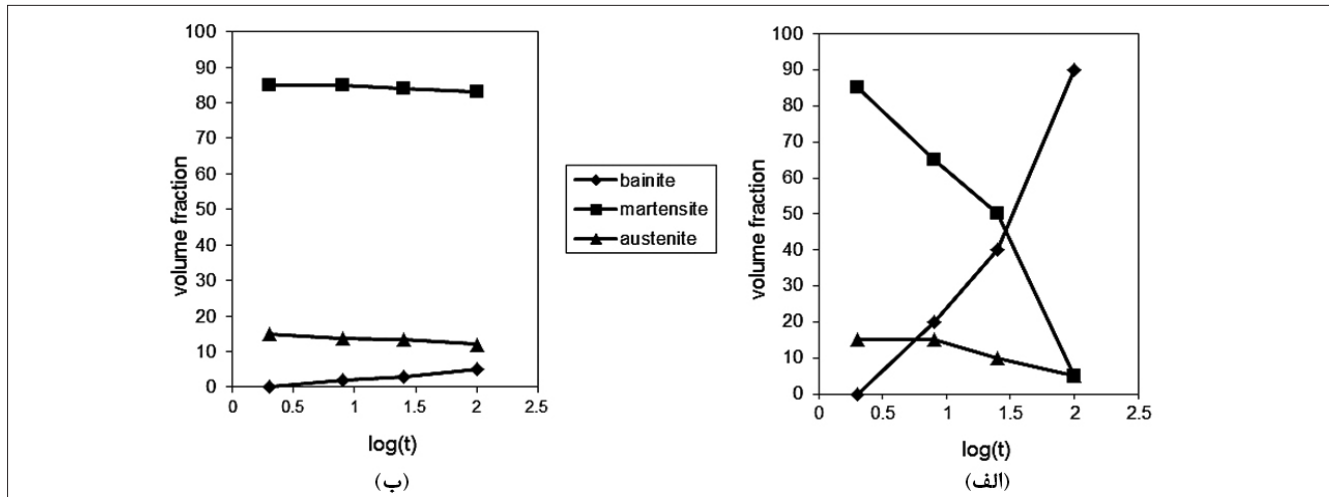
مارتنزیت کاهش و مقدار بینیت به طور قابل توجهی افزایش می‌یابد (Shaeri et al., 2012; Shaeri et al., 2010). سختی نمونه ریختگی HRC ۳۵ و سختی نمونه خنک شده با هوای فشرده HRC ۴۰ اندازه‌گیری شد. در شکل ۵ اثر زمان نگهداری در حمام نمک در دو دمای  $200^{\circ}\text{C}$  و  $300^{\circ}\text{C}$  بر سختی نشان داده شده است. همان‌طور که مشخص است با افزایش زمان نگهداری در دمای  $200^{\circ}\text{C}$  سختی مقدار بسیار کمی افزایش می‌یابد، ولی با افزایش زمان نگهداری در دمای  $300^{\circ}\text{C}$  سختی با سرعت زیادی کاهش می‌یابد.

#### ساخیش

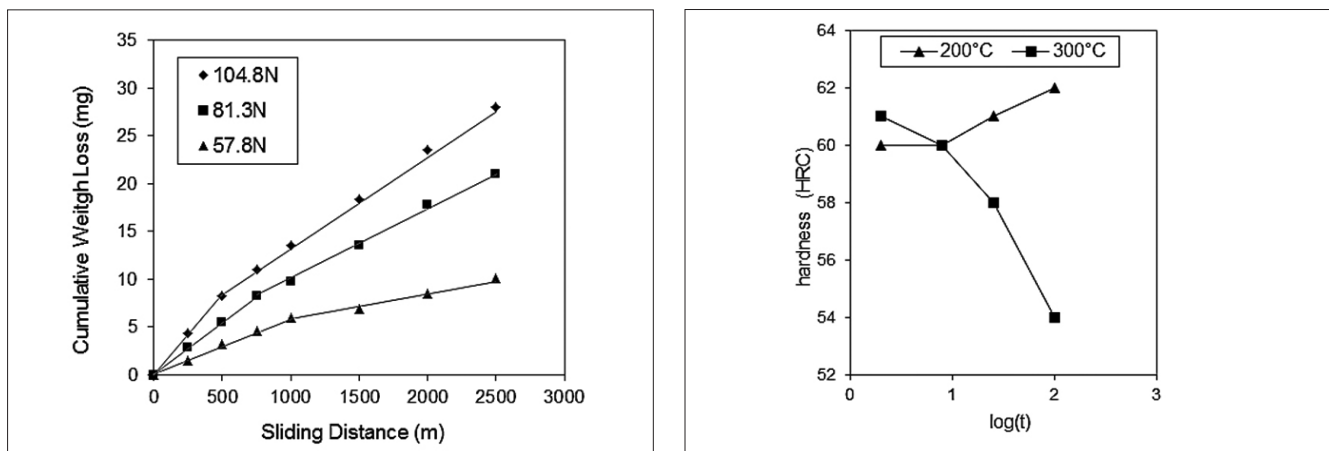
در شکل ۶ متوسط نتایج حاصل از ساخیش نمونه C۴، به صورت

تصویر ۳ ریزساختار میکروسکوپ نوری نمونه‌های کوئنچ شده در حمام نمک (در زمان و دماهای نگهداری مختلف) را نشان می‌دهد. محلول اج مورد استفاده محلول آبی متا بی سولفیت ۱۵ درصد می‌باشد، قسمت‌های سفیدرنگ آستنیت، قسمت‌های قهوه‌ای رنگ مارتنزیت و نواحی آبی رنگ بینیت می‌باشد (Shaeri et al., 2012; Shaeri et al., 2010).

در شکل ۴ تغییرات مقدار آستنیت باقیمانده، بینیت و مارتنزیت بر حسب دما و زمان نگهداری در حمام نمک نمایش داده شده است. در عملیات مارتمپرینگ (دمای  $200^{\circ}\text{C}$ ) با افزایش زمان نگهداری در حمام نمک مقدار آستنیت باقیمانده و مارتنزیت اندکی کاهش و مقدار بینیت اندکی افزایش می‌یابد. در عملیات آستمپرینگ (دمای  $300^{\circ}\text{C}$ ) با افزایش زمان نگهداری در حمام نمک مقدار آستنیت باقیمانده و



شکل ۴- اثر دما و زمان نگهداری در حمام نمک بر میزان آستینیت باقیمانده، بینیت و مارتزیت، (الف) نمونه‌های آستمپر شده در دمای  $200^{\circ}\text{C}$  و (ب) نمونه‌های مارتیپر شده در دمای  $200^{\circ}\text{C}$ .



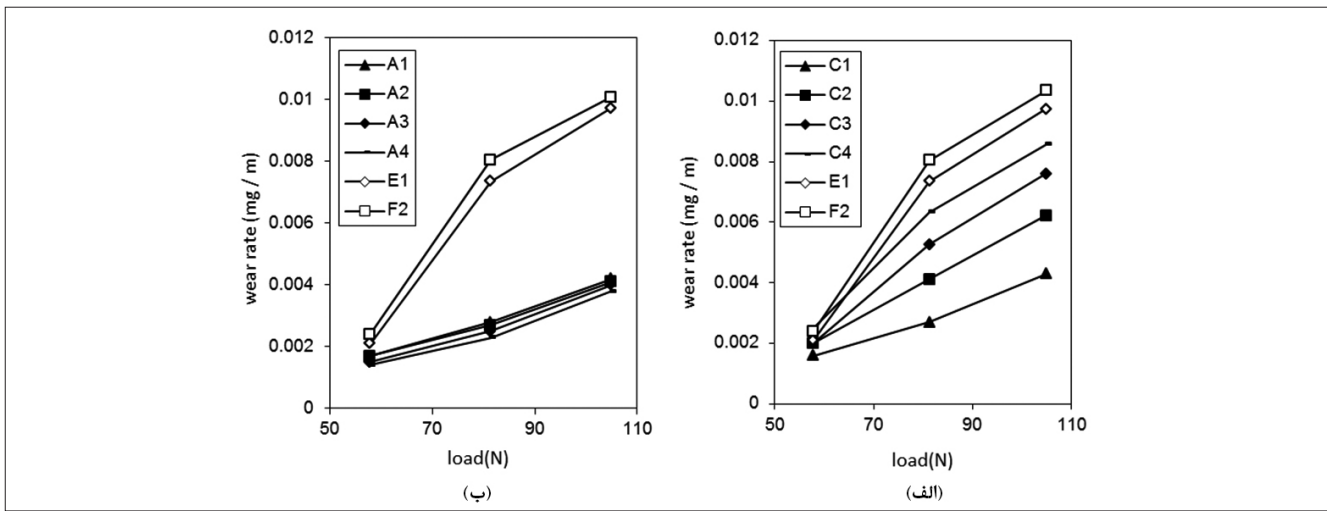
شکل ۶- منحنی کاهش تجمعی وزن سایش نمونه C4 بر حسب فاصله لغزش در نیروهای مختلف.

شکل ۵- نمودار اثر زمان نگهداری در حمام نمک در دمای  $200^{\circ}\text{C}$  و  $300^{\circ}\text{C}$  بر سختی فولاد کروم- مولیبدن دار.

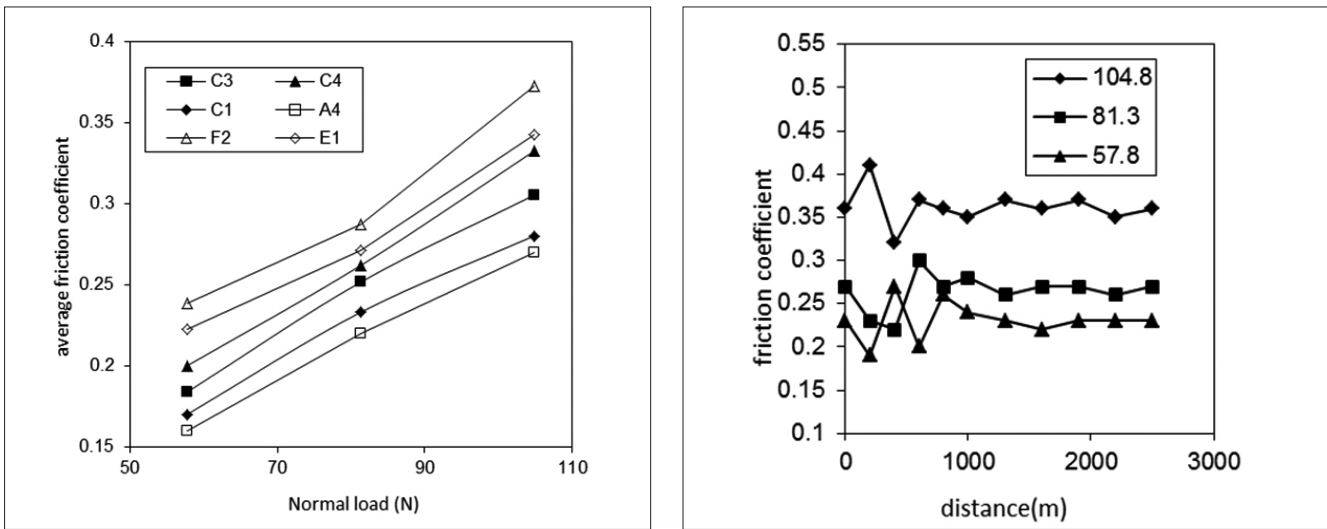
پایدار با استفاده از تغییرات شبیه نمودارهای کاهش تجمعی وزن سایش بر حسب فاصله لغزش در نیروهای مختلف (شکل ۶) رسم شده است. همان‌طور که مشخص است، با افزایش نیرو سرعت سایش افزایش می‌یابد و در نیروهای بالاتر اختلاف بین نرخ سایش نمونه‌های مختلف افزایش می‌یابد. از این نمودار می‌توان دریافت با افزایش جزء حجمی مارتزیت و سختی نمونه‌ها نرخ سایش کاهش می‌یابد و کمترین نرخ سایش مربوط به نمونه A4 (نمونه مارتیپر شده) و بیشترین نرخ سایش مربوط به نمونه F2 (نمونه ریختگی) می‌باشد. همان‌طور که در این نمودار مشخص است با افزایش زمان نگهداری در حمام نمک در عملیات مارتیپرینگ مقاومت سایشی اندکی افزایش می‌یابد زیرا مقدار آستینیت باقیمانده اندکی کاهش و مقدار مارتزیت اندکی افزایش می‌یابد، ولی با افزایش زمان نگهداری در دمای آستمپرینگ به دلیل کاهش مارتزیت و افزایش بینیت مقاومت سایشی به مقدار قابل ملاحظه‌ای کاهش می‌یابد.

کاهش تجمعی وزن نمونه بر حسب فاصله لغزش رسم شده است. لازم به ذکر است نمودارهای مشابهی برای سایر نمونه‌ها نیز تهیه شده است. همان‌طور که مشاهده می‌شود، نمودارهای مربوط به هر نیرو برای کلیه ساختارها از دو قسمت تقریباً خطی تشکیل شده است، به طوری که قسمت خطی دوم که در نیروی  $104.8\text{N}$  تقریباً از مسافت  $500\text{ m}$ ، در نیروی  $81.3\text{N}$  تقریباً از مسافت  $750\text{ m}$  و در نیروی  $57.8\text{N}$  تقریباً از مسافت  $1000\text{ m}$  آغاز می‌گردد، دارای شبیه کمتری نسبت به قسمت خطی اول می‌باشد. قسمت خطی اول مربوط به مرحله اولیه سایش یا مرحله run-in و قسمت خطی دوم مربوط به مرحله دوم سایش یا حالت پایدار (steady state) می‌باشد. این نمودارها نشان می‌دهند که در کلیه ساختارها افزایش نیرو موجب افزایش کاهش تجمعی وزن نمونه‌ها در سایش خواهد شد (Lim & Ashby, 1987).

در شکل ۷ تغییرات نرخ سایش بر حسب نیرو در مرحله حالت



شکل ۷- نمودار تغییرات نرخ سایش بر حسب نیرو در مرحله دوم سایش (حالت پایدار) (الف) نمونه‌های آستمپر شده، ریختگی و کوئنچ شده در هوای فشرده  
 (ب) نمونه‌های مارتیپر شده، ریختگی و کوئنچ شده در هوای فشرده.



شکل ۸- نمودار تغییرات ضریب اصطکاک متوسط نمونه‌های C3 ، C1 ، A4 ، E1 ، F2 و C4 بحسب نیرو در مرحله حالت پایدار.

در ضمن نمودارهای مشابهی برای سایر نمونه‌ها رسم شده است. همان‌طور که در شکل ۸ مشاهده می‌گردد، ضریب اصطکاک ابتدا در فواصل کوتاه لغزش (منطبق با مرحله اول سایش) دارای نوسان شدیدی است، اما به تدریج با افزایش فاصله لغزش (ورود به مرحله دوم) از میزان نوسان کاسته شده و ضریب اصطکاک پیرامون مقدار ثابتی نوسان می‌نماید.

منحنی ضریب اصطکاک متوسط نمونه‌های C3 ، C1 ، A4 ، E1 ، F2 و C4 بر حسب نیرو در مرحله حالت پایدار در شکل ۹ نشان داده شده است. این نمودار با استفاده از میانگین‌گیری از ضریب اصطکاک لحظه‌ای در مرحله حالت پایدار به دست آمده است. همان‌طور که مشخص است، با افزایش نیرو ضریب اصطکاک متوسط افزایش می‌یابد و در ضمن با افزایش جزء حجمی مارتیزیت و سختی

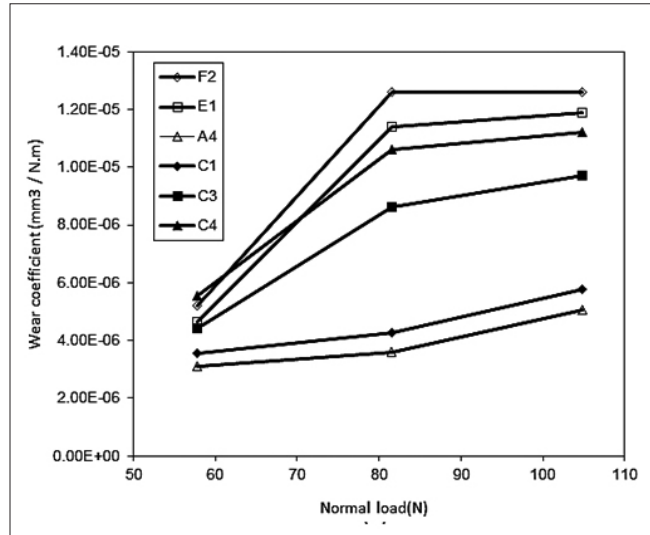
از آنجایی‌که سختی نمونه یکی از عوامل بسیار مهم در مقاومت سایشی آن می‌باشد، لذا دلیل مقاومت به سایش بالای نمونه‌های سری A و C1 سختی بالای این مواد به دلیل میزان بالای فاز سخت مارتیزیت در این نمونه‌ها می‌باشد. این در حالی است نمونه‌های C4 ، F2 و E1 به دلیل دارا بودن مقادیر زیادی از فاز نرم‌تر پرلیت و بیینیت مقاومت به سایش کمتری از خود نشان داده‌اند. لذا با افزایش مقدار بیینیت و کاهش مقدار مارتیزیت مقاومت سایشی کاهش می‌یابد. بر این اساس کمتر بودن مقاومت سایشی نمونه‌های ریختگی و کوئنچ شده در هوای فشرده نسبت به سایر نمونه‌ها را می‌توان به سختی پایین‌تر پرلیت نسبت به بیینیت و مارتیزیت ارتباط داد.

شکل ۸ تغییرات ضریب اصطکاک نمونه C4 را بر حسب فواصل معین ۲۵۰، ۵۰۰، ۷۵۰، ۱۰۰۰، ۱۵۰۰، ۲۰۰۰، ۲۵۰۰ متر نشان می‌دهد،

برادههای حاصل از سایش کلیه ساختارها در کلیه نیروها نشان می‌دهد و هیچ گونه اثری از وجود ذرات اکسیدی دیگر مشاهده نمی‌گردد، این امر را می‌توان بدين اینگونه توجیه نمود، که احتمالاً دمای پین در این نیروی اعمالی از  $40^{\circ}\text{C}$  تجاوز نکرده است. وجود نواحی تغییر شکل پلاستیک شدید یافته (این تغییرشکل به حدی می‌باشد، که در لبه‌های نمونه دنباله سایش نیز مشاهده می‌شود (شکل ۱۴)) و عدم حضور ترک در تصاویر زیرسطح نمونه C4 (شکل ۱۴) در نیروهای بالا، فعال شدن مکانیزم‌های سایش شدید بر اساس تغییر شکل پلاستیک در نیروهای بالا را اثبات می‌کند. دلیل وجود این مکانیزم در نمونه‌های پرلیتی و بینیتی، نرمتر بودن ریزساختار این نمونه‌ها نسبت نمونه‌های مارتنتزیتی می‌باشد (Sun, 1973; Stott, 1998; Hutching, 1992).

بررسی تصاویر SEM برادههای حاصل از سایش نمونه A4 نشان می‌دهد (شکل ۱۱)، در نیروهای پایین فقط ذرات اکسیدی ریز و کمی درشت‌تر اگلومر و در نیروهای بالا ذرات فلزی صفحه‌ای شکل همراه با ذرات اکسیدی ریز و کمی درشت‌تر اگلومر در برادهها وجود دارد. وجود پیک‌های Fe در نمودار XRD این نمونه در نیروی  $104/8\text{ N}$  (شکل ۱۳) نیز موید مطلب فوق می‌باشد. وجود ذرات فلزی صفحه‌ای شکل در برادهها و همچنین مشاهده ترک در مرز بین مارتنتزیت و آستنتیت در نواحی زیرسطح سایش یافته نمونه‌های مارتنتزیتی (شکل ۱۴) در نیروهای بالا وجود مکانیزم سایش تورق در این نمونه‌ها را اثبات می‌کند. عدم انعطاف‌پذیری و ترد و شکنده بودن فاز مارتنتزیت و همچنین انرژی پیوند پایین مرز بین مارتنتزیت و آستنتیت را می‌توان به عنوان دلایل وجود مکانیزم سایش تورق در نمونه‌های مارتنتزیتی عنوان کرد (Sun, 1973; Stott, 1998; Hutching, 1992).

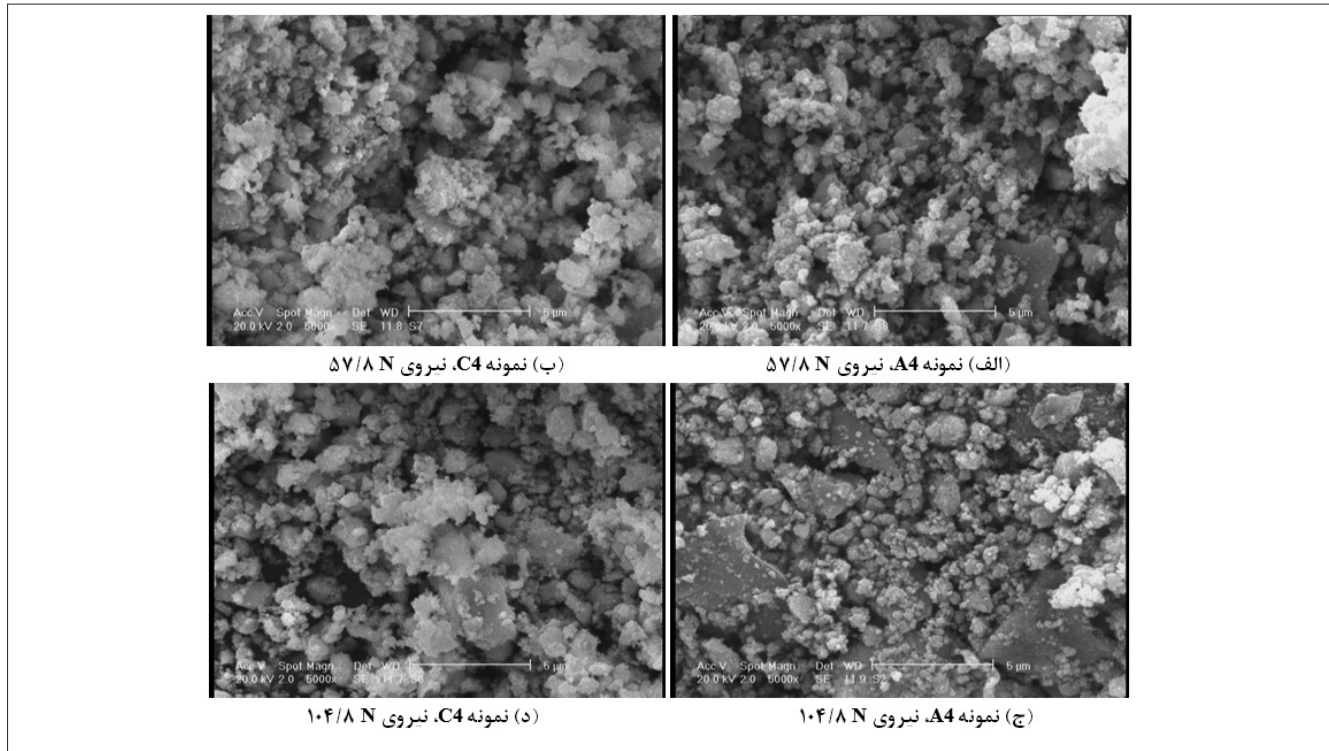
به‌طور کلی می‌توان عنوان نمود، بررسی زیرسطح و برادههای حاصل از سایش نشان می‌دهد، مکانیزم سایش غالب در بیشتر نمونه‌ها، مکانیزم سایش اکسیدی ملایم (oxidative wear) است و در برخی نمونه‌ها در نیروهای بالا علاوه بر مکانیزم سایش اکسیدی ملایم مکانیزم تورق (delamination) و مکانیزم‌های سایش شدید بر اساس تغییر شکل پلاستیک (plasticity-dominated wear) نیز دیده می‌شود. در نمونه‌های مارتنتزیتی (A4 و C1) در نیروهای پایین فقط مکانیزم سایش اکسیدی ملایم و در نیروهای بالا مکانیزم تورق علاوه بر مکانیزم سایش اکسیدی ملایم وجود دارد و در نمونه‌های بینیتی و پرلیتی که نرمتر هستند (C4, E1, F2) در نیروهای پایین فقط مکانیزم سایش اکسیدی ملایم و در نیروهای بالا مکانیزم‌های سایش شدید بر اساس تغییر شکل پلاستیک علاوه بر مکانیزم سایش اکسیدی ملایم وجود دارد.



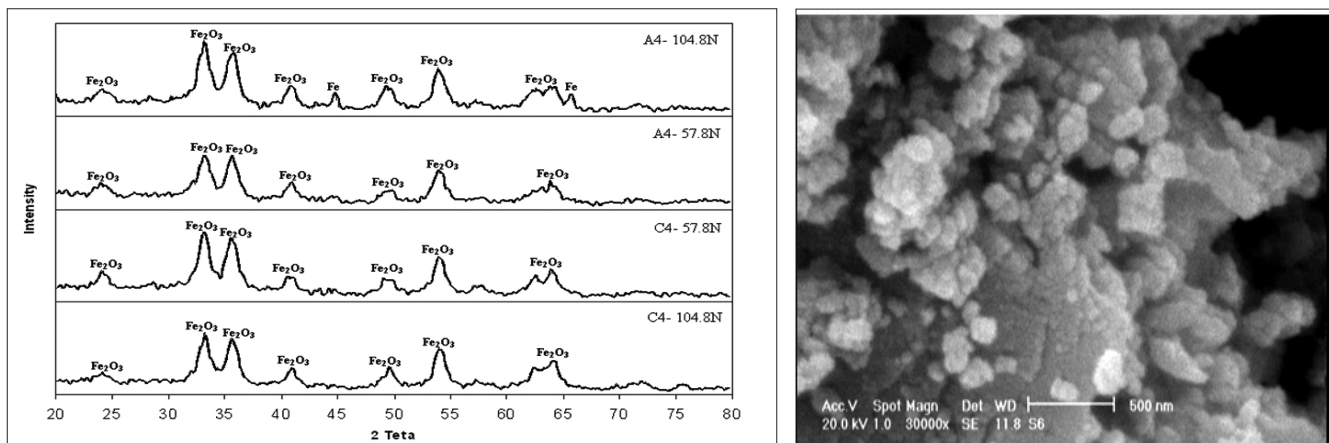
شکل ۱۰- نمودار تغییرات ضریب سایش نمونه‌های F2، C1، A4، E1، C3، C4 بر حسب نیرو در مرحله حالت پایدار.

نمونه‌ها ضریب اصطکاک متوسط کاهش می‌یابد و کمترین ضریب اصطکاک متوسط مربوط به نمونه A4 و بیشترین ضریب اصطکاک متوسط مربوط به نمونه F2 می‌باشد. منحنی ضریب سایش لنکستر نمونه‌های C4, C3, A4, E1, F2, C1, C2 و C3 بر حسب نیرو در مرحله حالت پایدار در شکل ۱۰ نشان داده شده است. این نمونه‌ها با استفاده از تغییرات شبیه نمودار نرخ سایش بر حسب نیرو در مرحله حالت پایدار (شکل ۷) رسم شده است. همان‌طور که مشخص است، با افزایش نیرو ضریب سایش افزایش می‌یابد و در ضمن با افزایش جزء حجمی مارتنتزیت و سختی نمونه‌ها ضریب سایش کاهش می‌یابد و کمترین ضریب سایش مربوط به نمونه A4 و C1 و بیشترین ضریب سایش مربوط به نمونه F2 می‌باشد. از این نمودار می‌توان دریافت در نمونه‌های A4 و C1 مکانیزم سایش در نیروی  $104/8\text{ N}$  مقاومت با مکانیزم سایش در سایر نیروها می‌باشد، زیرا با افزایش نیرو ضریب لنکستر تغییر محسوسی می‌کند، و همچنین در نمونه‌های E1, F2, C1 و C3 نیز به دلیل تغییر قابل توجه مقدار ضریب لنکستر مکانیزم سایش در نیروی  $104/8\text{ N}$  و  $81/3\text{ N}$  متفاوت با مکانیزم سایش در نیروی  $57/8\text{ N}$  می‌باشد.

تصاویر SEM و نتایج XRD برادههای حاصل از سایش نمونه C4 در تمام نیروها نشان می‌دهد (شکل‌های ۱۱ و ۱۲)، برادهها از ذرات اکسیدی ریز و کمی درشت‌تر اگلومر تشکیل شده‌اند و نشانه‌ای از وجود ذرات فلزی صفحه‌ای شکل نیز به چشم نمی‌خورد، لذا وجود مکانیزم سایش اکسیدی در این نمونه‌ها قطعی می‌باشد. همان‌طور که شکل ۱۲ نشان می‌دهد، ذرات اگلومر می‌توانند از به هم پیوستن ذراتی با اندازه کمتر از صد نانومتر تشکیل شده باشند. مطابق شکل ۱۳ مشاهدات XRD، وجود اکسید آهن  $\text{Fe}_2\text{O}_3$  را در میان



شکل ۱۱- تصاویر SEM مربوط به براده‌های حاصل از سایش نمونه‌های C4 و A4 در نیروهای ۵۷/۸ N و ۱۰۴/۸ N (بزرگنمایی ۵۰۰۰).



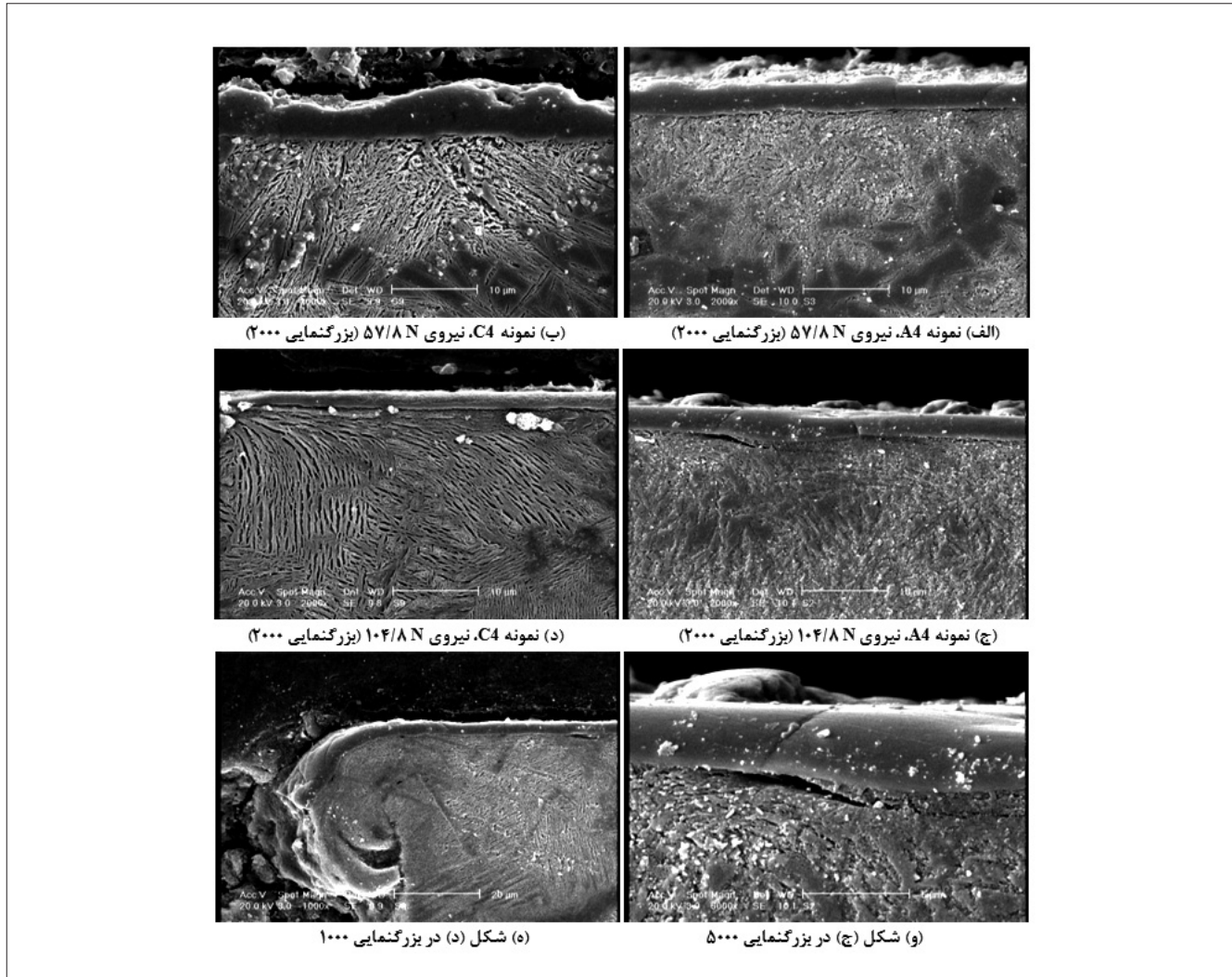
شکل ۱۲- تصویر SEM مربوط به براده‌های حاصل از سایش نمونه C4 در نیروی ۱۰۴/۸ N (بزرگنمایی ۳۰۰۰).

تاثیر بسیار کمی بر مقاومت در برابر سایش دارد، ولی در عملیات آستمپرینگ با افزایش زمان نگهداری مقاومت در برابر سایش به مقدار قابل ملاحظه‌ای کاهش می‌یابد.

۳- در نمونه‌های مارتنتزیتی در نیروهای پایین فقط مکانیزم سایش اکسیدی ملایم و در نیروهای بالا مکانیزم سایش شدید تورق علاوه بر مکانیزم سایش اکسیدی ملایم وجود دارد و در نمونه‌های بینیتی و پرلیتی که نرم‌تر هستند، در نیروهای پایین فقط مکانیزم سایش اکسیدی ملایم و در نیروهای بالا مکانیزم‌های سایش شدید

### نتیجه‌گیری

- با افزایش نیرو نرخ سایش همه نمونه‌ها افزایش می‌یابد و در ضمن با توجه به اینکه مقاومت سایشی مارتنتزیت بیش از بینیت و بینیت بیش از پرلیت می‌باشد، لذا می‌توان گفت در نمونه‌های بینیتی- مارتنتزیتی با افزایش مارتنتزیت و در نمونه‌های پرلیتی- بینیتی با افزایش بینیت نرخ سایش کاهش می‌یابد.
- در عملیات مارتمنپرینگ افزایش زمان نگهداری در حمام نمک



شکل ۱۴- تصاویر SEM نواحی زیرسطح ساییده شده نمونه‌های A4 و C4 در نیروهای ۵۷/۸ N و ۱۰۴/۸ N در بزرگنمایی.

5-Hutching, I. M. (1992). Tribology and wear of engineering materials. Edward Arnold, 82-171.

6-Keough, R., Laird, W. J. & Goddin, A. D. (1991). Austempering of steel. ASM Metal Handbook, Heat Treatment, 4, 367-413.

7-Lim, S. C. & Ashby, M. F. (1987). Wear-mechanism maps. Acta Metallurgical, 35, 1-24.

8-Olsen, D. L. & Cross C. E. (1992). Friction and wear in the mining and mineral industries. ASM Metal Handbook, Friction, Lubrication, and Wear Technology, 18, 1327-1342.

9-Shaeri, M. H., Saghafian, H. & Shabestari, S. G. (2012). Effects of austempering and martempering processes on microstructure and mechanical properties of Cr-Mo steels (FMU-226) used in mills liner. Materials and Design, 34, 192-200.

10-Shaeri, M. H., Saghafian H. & Shabestari, S. G. (2010). Effects of austempering and martempering processes on amount of retained austenite in Cr-Mo steels (FMU-226) used in mills liner. Journal of Iron and Steel Research International, 17(2), 53-58.

11-Stott, F. H. (1998). The role of oxidation in the wear of alloys. Tribology International, 31, 61-71.

12-Suh, N. P. (1973). The delamination theory of wear. Wear, 25, 111-124.

13-Zhi-qiang, J., Jian-ming, D. & Xi-lan, F. (2006). Study and application of heat treatment of multi-element wear-resistant low-alloy steel. Journal of Iron and Steel Research International, 13(1), 57-61.

بر اساس تغییر شکل پلاستیک علاوه بر مکانیزم سایش اکسیدی ملایم وجود دارد.

۴- با توجه به نتایج بدست آمده به نظر می‌رسد، در صورت استفاده از قطعات مارتیپر و آستمپر شده به جای قطعات کوئنچ شده در هوای فشرده در آسترنی‌های آسیاب‌ها مقاومت سایشی و عمر مفید آسترنی‌ها افزایش یافته و صرفه‌جویی قابل توجهی در هزینه تولید معادن ایجاد می‌شود.

## منابع و مراجع

- Banisi, S. & Hadizadeh, M. (2007). 3-D liner wear profile measurement and analysis in industrial SAG mills. Minerals Engineering, 20(2), 132-139.
- Cleary, P. W. (2001). Recent advances in DEM modeling of tumbling mills. Minerals Engineering, 14(10), 1295-1319.
- Fu, H., Xiao, H. & Fu, H. (2005). Heat treatment of multi-element low alloy wear-resistant steel. Materials Science and Engineering A, 396, 206-212.
- Hertzberg, R. W. (1996). Deformation and fracture mechanics of engineering materials. John Wiley & Sons Inc.